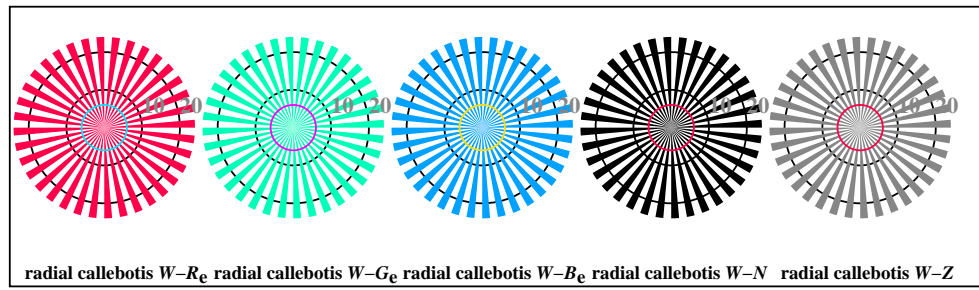




192 x 128
384 x 256
768 x 512
1536 x 1024
3072 x 2048

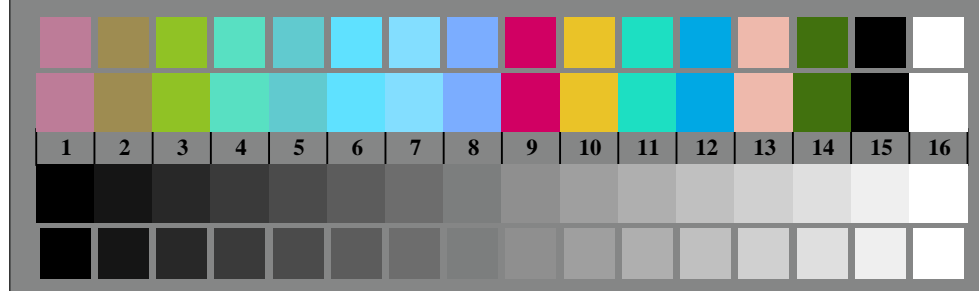


TF800-3, Fig. D1We: le motif fleuri, 14 CIE test couleurs et 2 + 16 gris étapes (sf); PS operator 3 colorimage

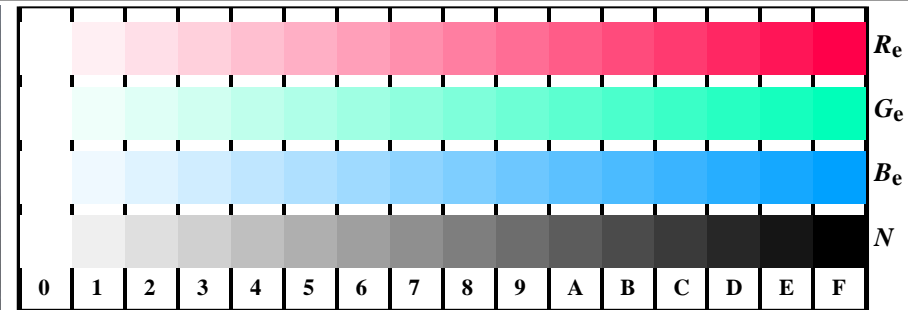


radial callebotis $W-R_e$ radial callebotis $W-G_e$ radial callebotis $W-B_e$ radial callebotis $W-N$ radial callebotis $W-Z$

TF800-5, Fig. D2We: radial callebotis $W-R_e$; $W-G_e$; $W-B_e$; $W-N$; PS operator $rgb \rightarrow rgb_e$ setrgbcolor



TF800-7, Fig. D3We: 14 CIE test couleurs et 2 + 16 gris étapes (sf); $rgb/cmy0 \rightarrow rgb_e$ setrgbcolor



TF801-1, Fig. D4We: 16 équidistants étapes $W-R_e$; $W-G_e$; $W-B_e$; $W-N$; $rgb/cmy0 \rightarrow rgb_e$ setrgbcolor

$+-.:$	Q	O	C	C	$lmno$	C	O	C	O	$pqrs$	O	O	O	O	$tuvw$	O	O	O		
$xyz;$	O	O	O	O	$hijk$	O	C	O	O	$lmno$	O	O	O	O	$pqrs$	O	O	O		
$tuvw$	O	O	O	O	$defg$	O	O	O	O	$hijk$	O	O	O	O	$hijk$	O	O	O		
$pqrs$	O	O	O	O	$!abc$	O	O	O	O	$+-.:$	O	O	O	O	$!abc$	O	O	O		
$lmno$	O	O	O	O	$xyz;$	O	O	O	O	$xyz;$	O	O	O	O	$tuvw$	O	O	O		
$hijk$	C	C	C	C	$tuvw$	O	O	O	O	$defg$	O	O	O	O	$defg$	O	O	O		
$defg$	O	O	O	O	$!abc$	O	O	O	O	$!abc$	O	O	O	O	$!abc$	O	O	O		
$!abc$	O	O	O	O	10	N	R_e	G_e	B_e	Z	6	N	R_e	G_e	B_e	Z	$tuvw$	O	O	
						8	N	R_e	G_e	B_e	Z		N	R_e	G_e	B_e	Z	$pqrs$	O	O

TF801-3, Fig. D5We: code et Landolt anneau N ; R_e ; G_e ; B_e ; Z ; PS operator $rgb \rightarrow rgb_e$ setrgbcolor

anneaux Landolt $W-R_e$	Code	anneaux Landolt $W-G_e$	Code
0-1			0-1
7-8			7-8
E-F			E-F
2-0			2-0
8-6			8-6
F-D			F-D

TF801-5, Fig. D6We: anneaux Landolt $W-R_e$; $W-G_e$; PS operator $rgb \rightarrow rgb_e$ setrgbcolor

anneaux Landolt $W-B_e$	Code	anneaux Landolt $W-N$	Code
0-1			0-1
7-8			7-8
E-F			E-F
2-0			2-0
8-6			8-6
F-D			F-D

TF801-7, Fig. D7We: anneaux Landolt $W-B_e$; $W-N$; PS operator $rgb \rightarrow rgb_e$ setrgbcolor